

**定理 16 (复连通区域上的柯西定理)** 设  $D$  是  $\mathbb{C}$  上的复连通区域,  $C_1, C_2, \dots, C_n$  是  $D$  上的闭曲线,  $R$  是  $C_1, C_2, \dots, C_n$  所包围的区域,  $f(z)$  在  $R$  上解析, 定义沿围道  $C_k$  前进时  $R$  在  $C_k$  的左侧为正定向, 则下述正定向积分为零,

$$\int_{C_1+C_2+\dots+C_n} f(z) dz = 0. \quad (3.36)$$

### 3.3 柯西积分公式

柯西积分公式是解析函数理论的核心内容。如果学完这门课有什么一定要记住的话, 柯西积分公式必居其中。

**定理 17 (柯西积分公式)** 设  $f(z)$  是单连通区域  $D$  上的解析函数,  $C$  是  $D$  上任意封闭曲线,  $z_0$  是  $C$  所包裹区域内的任意内点。则

$$f(z_0) = \frac{1}{2\pi i} \int_C \frac{f(z)}{z - z_0} dz, \quad (3.37)$$

其中积分围道沿  $C$  的正定向。

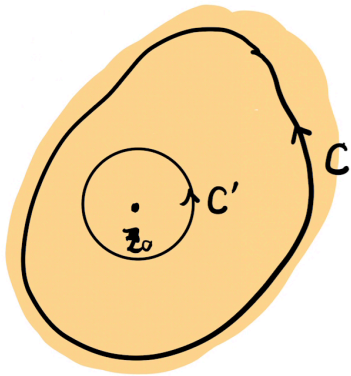


Figure 3.1: 证明柯西积分公式的围道

证明: 取图3.1中围道  $C$  和  $C'$ , 其中  $C'$  是以  $z_0$  为圆心的任一小圆。被积函数  $f(z)/(z - z_0)$  在  $C$  和  $C'$  所包裹的区域内解析, 由复连通区域的柯西公式有

$$\int_{C-C'} \frac{f(z)}{z - z_0} dz = 0 = \int_C \frac{f(z)}{z - z_0} dz - \int_{C'} \frac{f(z)}{z - z_0} dz, \quad (3.38)$$

换句话说

$$\int_C \frac{f(z)}{z - z_0} dz = \int_{C'} \frac{f(z)}{z - z_0} dz. \quad (3.39)$$

不妨将  $C'$  取作

$$C'(t) = z_0 + \varepsilon e^{it}, \quad 0 \leq t \leq 2\pi, \quad (3.40)$$

并让  $\varepsilon \rightarrow 0$ 。由复线积分的定义有

$$\begin{aligned} \int_{C'} \frac{f(z)}{z - z_0} dz &= \lim_{\varepsilon \rightarrow 0} \int_0^{2\pi} \frac{f(z_0 + \varepsilon e^{it})}{\varepsilon e^{it}} \varepsilon i e^{it} dt \\ &= \int_0^{2\pi} f(z_0) i dt \\ &= 2\pi i f(z_0), \end{aligned} \quad (3.41)$$

即

$$f(z_0) = \frac{1}{2\pi i} \int_{C'} \frac{f(z)}{z - z_0} dz, \quad (3.42)$$

因此柯西公式得证。

**例子 23** 计算正定向围道积分

$$\int_{|z|=1} \frac{e^z}{z} dz, \quad \int_{|z|=2} \frac{dz}{z^2 + 1}.$$

柯西公式的一个强大之处在于将  $f(z_0)$  的  $z_0$  依赖关系用很简单的代数函数表示出来了, 不管  $f(z)$  是多复杂的函数。例如, 我们可以从中得到如下重要结论:

**定理 18 (柯西求导公式)** 设  $f(z)$  是区域  $D$  上的解析函数,  $z_0$  是  $D$  上的内点,  $C$  是将  $z_0$  包裹在内的任意封闭曲线,  $f(z)$  在  $D$  上无穷次可导, 且  $n$  阶导数可以写为

$$f^{(n)}(z_0) = \frac{n!}{2\pi i} \int_C \frac{f(z)}{(z - z_0)^{n+1}} dz. \quad (3.43)$$

证明: 我们用归纳法进行证明。  $n = 0$  的情形直接对应柯西积分公式, 因此无须再证明。设(3.43)对于  $n - 1$  阶导数成立, 即

$$f^{(n-1)}(z_0) = \frac{(n-1)!}{2\pi i} \int_C \frac{f(z)}{(z - z_0)^n} dz, \quad (3.44)$$

我们要证明第  $n$  阶导数也成立而且可以写成式(3.43)的形式。从导数的定义出发我们有

$$\begin{aligned} f^{(n)}(z_0) &= \lim_{h \rightarrow 0} \frac{f^{(n-1)}(z_0 + h) - f^{(n-1)}(z_0)}{h} \\ &= \lim_{h \rightarrow 0} \frac{(n-1)!}{2\pi i h} \int_C f(z) \left( \frac{1}{(z - z_0 - h)^n} - \frac{1}{(z - z_0)^n} \right) dz \\ &= \lim_{h \rightarrow 0} \frac{(n-1)!}{2\pi i h} \int_C f(z) \left( \frac{(z - z_0)^n - (z - z_0 - h)^n}{(z - z_0 - h)^n (z - z_0)^n} \right) dz. \end{aligned} \quad (3.45)$$

利用

$$A^n - B^n = (A - B)(A^{n-1} + A^{n-2}B + A^{n-3}B^2 + \cdots + B^{n-1}). \quad (3.46)$$

我们有

$$\begin{aligned} f^{(n)}(z_0) &= \lim_{h \rightarrow 0} \frac{(n-1)!}{2\pi i h} \int_C f(z) \frac{h \left[ (z - z_0)^{n-1} + (z - z_0)^{n-2}(z - z_0 - h) + \cdots + (z - z_0 - h)^n \right]}{(z - z_0)^n (z - z_0 - h)^n} dz \\ &= \frac{n!}{2\pi i} \int_C \frac{f(z)}{(z - z_0)^{n+1}} dz. \end{aligned} \quad (3.47)$$

得证。这个结果告诉我们，解析函数一定是无穷次可导的。对于实变量函数这个结论不成立。

**例子 24** 计算

$$\int_{|z|=1} \frac{e^z}{z^n} dz.$$

**定理 19 (含参量积分的解析性)** 1. 设  $f(t, z)$  是  $t$  和  $z$  的连续函数,  $t \in [a, b]$ ,  $z \in \overline{G}$ , 其中  $\overline{G}$  是有界闭区域;

2. 对于  $[a, b]$  上的任何  $t$  值,  $f(t, z)$  是  $\overline{G}$  是关于  $z$  的单值解析函数. 则  $F(z) = \int_a^b f(t, z) dt$  是  $\overline{G}$  上的解析函数, 且

$$F'(z) = \int_a^b \frac{\partial f(t, z)}{\partial z} dt \quad (3.48)$$

**证明 4** 利用柯西积分公式将  $f(t, z)$  的  $z$  依赖提取出来:

$$F(z) = \int_a^b \oint \frac{f(t, \zeta)}{\zeta - z} d\zeta dt \quad (3.49)$$

则

$$\begin{aligned} F'(z) &= \oint \int_a^b \frac{f(t, \zeta)}{(\zeta - z)^2} d\zeta dt \\ &= \int_a^b \frac{\partial f(t, z)}{\partial z} dt \end{aligned} \quad (3.50)$$

从柯西积分公式出发可以得到许多有趣的结果。

**推论 2 (柯西估计)** 设  $f(z)$  在区域  $D$  上解析, 以  $z_0$  为圆心, 半径为  $R$  的圆盘在  $D$  上, 则

$$|f^{(n)}(z_0)| \leq \frac{n! \|f\|_C}{R^n}, \quad (3.51)$$

其中  $C$  是圆盘边界,  $\|f\|_C = \sup_{z \in C} |f(z)|$  是  $f(z)$  在  $C$  的最小上确界。

证明：由柯西积分公式可知，

$$\begin{aligned}
 |f^{(n)}(z_0)| &= \frac{n!}{2\pi} \left| \int_C \frac{f(z)}{(z - z_0)^{n+1}} dz \right| \\
 &= \frac{n!}{2\pi} \left| \int_0^{2\pi} \frac{f(z_0 + Re^{it})}{(Re^{it})^{n+1}} Rie^{it} dt \right| \\
 &\leq \frac{n!}{2\pi} \frac{\|f\|_C}{R^n} 2\pi.
 \end{aligned} \tag{3.52}$$

证毕。当  $n = 0$  时，有

$$|f(z_0)| \leq \|f\|_C, \tag{3.53}$$

由柯西估计我们立刻得到

**定理 20 (最大模原理)** 设  $f(z)$  在区域  $D$  上解析。如果  $f(z)$  不是常函数，则  $|f(z)|$  在  $D$  上没有最大值。

证明：利用反证法，设  $z_0$  是  $D$  上一点， $|f(z_0)|$  在  $D$  上取最大值。我们要证明这是  $f(z)$  一定是常函数。我们以  $z_0$  为圆心取一半径为  $r$  的小圆  $C$ ，使得  $C$  也在  $D$  上。令  $z = z_0 + re^{i\varphi}$ ，由柯西积分公式我们有

$$\begin{aligned}
 f(z_0) &= \frac{1}{2\pi i} \int_C \frac{f(z)}{z - z_0} dz \\
 &= \frac{1}{2\pi i} \int_0^{2\pi} \frac{f(z_0 + re^{i\varphi})}{re^{i\varphi}} rie^{i\varphi} d\varphi \\
 &= \frac{1}{2\pi} \int_0^{2\pi} f(z_0 + re^{i\varphi}) d\varphi.
 \end{aligned} \tag{3.54}$$

左边取绝对值后有不等式

$$|f(z_0)| \leq \frac{1}{2\pi} \int_0^{2\pi} |f(z_0 + re^{i\varphi})| d\varphi. \tag{3.55}$$

由我们的假设应有

$$|f(z_0)| \geq |f(z_0 + re^{i\varphi})|. \tag{3.56}$$

为了使这两个不等式(3.55)和(3.56)同时成立，(3.56)中的严格大于号只可能对孤立的  $\varphi$  值成立。但又由连续性可知，如果有某个  $\varphi_0$  使得

$$|f(z_0)| > |f(z_0 + re^{i\varphi_0})|, \tag{3.57}$$

则必然存在某个包含  $\varphi_0$  的开区间  $(\varphi_0 - \varepsilon, \varphi_0 + \varepsilon)$ ，使得(3.57)在这个区间内都成立。因此我们得到结论(3.56)中的大于号不能取到，从而  $f(z)$  只能是常函数。证毕。

我们可以利用 **最大模原理** 来简化某些类型的优化问题。以下通过一个具体例子来说明这一方法的应用。

## 问题描述

试求函数  $|z^2 + 4z - 2|$  在单位圆盘  $|z| \leq 1$  上的最大值。

## 初步尝试：三角不等式

一个自然的初步尝试是利用三角不等式进行估计：

$$|z^2 + 4z - 2| \leq |z^2| + |4z| + |-2| \leq 7. \quad (3.58)$$

然而，这种估计并不精确。例如，当  $|z| = 1$  时，若取  $z = -1$ ，则有

$$|z^2 + 4z - 2| = |(-1)^2 + 4(-1) - 2| = 5, \quad (3.59)$$

而非 7。因此，这种方法无法给出最优解。

## 直接计算的复杂性

另一种方法是设  $z = re^{i\theta}$ ，然后计算

$$|z^2 + 4z - 2|^2 = |r^2 e^{2i\theta} + 4re^{i\theta} - 2|^2. \quad (3.60)$$

将其展开为实部和虚部的形式：

$$|z^2 + 4z - 2|^2 = (r^2 \cos 2\theta + 4r \cos \theta - 2)^2 + (r^2 \sin 2\theta + 4r \sin \theta)^2. \quad (3.61)$$

尽管这种方法理论上可行，但在实际操作中，需要对  $0 \leq r \leq 1$  和  $0 \leq \theta \leq 2\pi$  的范围进行偏导数计算以寻找极值，计算过程相当繁琐。

## 最大模原理的应用

注意到函数  $f(z) = z^2 + 4z - 2$  是全纯函数，根据 **最大模原理**，其在闭圆盘  $|z| \leq 1$  上的最大模必然出现在边界  $|z| = 1$  上。因此，我们只需考虑  $z = e^{i\theta}$  的情况。

此时，

$$|f(e^{i\theta})|^2 = (e^{2i\theta} + 4e^{i\theta} - 2)(e^{-2i\theta} + 4e^{-i\theta} - 2). \quad (3.62)$$

展开后得到

$$|f(e^{i\theta})|^2 = -8 \cos \theta - 4 \cos 2\theta + 21. \quad (3.63)$$

为了找到极值点，我们需要求导并令导数为零：

$$\frac{d}{d\theta} |f(e^{i\theta})|^2 = 8 \sin \theta + 8 \sin 2\theta = 8 \sin \theta (1 + 2 \cos \theta) = 0. \quad (3.64)$$

由基本三角学知识可知， $\sin \theta = 0$  或  $1 + 2 \cos \theta = 0$ 。这对应于  $\theta = 0, \pi, \frac{2\pi}{3}, \frac{4\pi}{3}, 2\pi$ 。

逐一检查这些角度对应的函数值, 可以发现当  $\theta = \frac{2\pi}{3}$  或  $\theta = \frac{4\pi}{3}$  时, 函数取得最大值:

$$|z^2 + 4z - 2| = \sqrt{27}. \quad (3.65)$$

此时对应的  $z$  值为

$$z = \frac{-1 \pm i\sqrt{3}}{2}. \quad (3.66)$$

**定理 21 (刘维定理)** 定义在整个复平面上的有界解析函数必然是常函数。

证明: 设  $f(z)$  是  $\mathbb{C}$  上的解析函数且  $f(z) \leq M$ 。对任意  $z_0 \in \mathbb{C}$ , 以  $z_0$  为圆心作以半径为  $R$  的圆, 由柯西估计有

$$|f'(z_0)| \leq \frac{M}{R}, \quad (3.67)$$

令  $R \rightarrow \infty$ , 则得到

$$|f'(z_0)| = 0. \quad (3.68)$$

由于  $z_0$  是任意一点, 因此  $f(z)$  在  $\mathbb{C}$  上的导数处处为零, 因此必然是常函数。

由刘维定理立刻可以得到代数学基本定理的一个简单证明。

**定理 22 (代数学基本定理)**  $P_n(z)$  是  $n$  次 ( $n > 0$ ) 复系数多项式函数,

$$P_n(z) = c_0 + c_1 z + c_2 z^2 + \cdots + c_n z^n, \quad (3.69)$$

则  $P_n(z)$  在  $\mathbb{C}$  中必有一个根。

证明: 用反证法, 设  $P_n(z)$  在  $\mathbb{C}$  上没有根。考虑函数

$$f(z) = \frac{1}{P_n(z)}. \quad (3.70)$$

显然  $f(z)$  在  $\mathbb{C}$  上解析。且由于

$$\lim_{z \rightarrow \infty} f(z) = 0, \quad (3.71)$$

因此  $f(z)$  是  $\mathbb{C}$  上的有界函数。由刘维定理可得  $f(z)$  是常函数。但  $f(z)$  显然不是常函数, 因此  $P_n(z)$  必有根, 得证。

在数学的广袤天地中，有一个定理如同一颗璀璨的明珠，历经几个世纪的探索与争论，最终成为了代数学的核心之一。这便是代数基本定理，一个关于多项式方程解的深刻命题：每一个非零单变量多项式方程在复数范围内至少有一个根。

故事的起点可以追溯到 17 世纪，那时的数学家们正试图理解方程的本质。彼得·罗斯 (Peter Roth) 在他的书《Arithmetica Philosophica》中大胆猜测，一个  $n$  次多项式方程可能有  $n$  个解。然而，他的表述并不严谨，也没有明确区分实数解和复数解。随后，阿尔伯特·吉拉尔 (Albert Girard) 进一步提出，任何  $n$  次多项式方程都有  $n$  个解，并且他甚至展示了一个具体的例子——方程  $x^4 = 4x - 3$ 。尽管当时的数学界对复数的理解还非常有限，但吉拉尔实际上已经相信这些解的存在，因为他成功找到了四个解，包括两个复数解。

进入 18 世纪，数学家们开始尝试更严格的证明，但这一过程中也出现了不少误解和错误。例如，莱布尼茨曾错误地声称某些类型的多项式（如  $x^4 + a^4$ ）无法分解为更低次的实系数多项式乘积。然而，欧拉在 1742 年的一封信中巧妙地反驳了这一点，展示了如何将  $x^4 + a^4$  分解为两个二次多项式的乘积。欧拉的工作不仅纠正了莱布尼茨的错误，还为后来的研究奠定了基础。

真正的突破来自年轻的卡尔·弗里德里希·高斯。他在 1799 年的博士论文中给出了第一个相对完整的证明。高斯的方法结合了几何和代数的思想，尽管其中仍存在一些逻辑上的漏洞（例如拓扑学上的问题），但这无疑是代数基本定理历史上的里程碑。高斯一生共给出了四种不同的证明，每一次都比前一次更加完善。他的第四次证明 (1849 年) 甚至使用了复分析的工具，显示了他对数学各个领域的深刻理解。

19 世纪初，业余数学家让-罗贝尔·阿冈 (Jean-Robert Argand) 发表了一个更为直接的证明，这是历史上第一次明确针对复系数多项式的证明。然而，阿冈的工作并未得到应有的认可，直到后来柯西在其教科书中引用了阿冈的证明（但未署名）。19 世纪末，魏尔斯特拉斯提出了寻找构造性证明的问题，并在 1891 年给出了一种基于数值方法的解决方案，这标志着代数基本定理研究的一个新方向。

进入 20 世纪，数学家们从不同领域出发，提供了更多富有创意的证明。例如，拓扑学、复分析和黎曼几何都被用来重新审视这个古老的定理。1981 年，史蒂夫·斯梅尔 (Steve Smale) 甚至将代数基本定理与计算复杂性理论联系起来，揭示了其在现代科学中的深远意义。代数基本定理的历史就像一场智力接力赛，每个时代都有新的线索和突破。从吉拉尔的直觉猜测，到高斯的严谨推理，再到现代数学家的多学科融合，这个定理见证了数学发展的壮丽画卷。它不仅是代数学的基石，更是人类智慧的结晶。正如高斯所说：“数学是科学的皇后，而算术是数学的皇后。”代数基本定理无疑为这顶皇冠增添了一颗璀璨的明珠。

### 3.3.1 Kramers-Kronig 关系

#### 介电常数的频率依赖

真空中的麦克斯韦方程有

$$\mathbf{D} = \varepsilon_0 \mathbf{E} \quad (3.72)$$

其中  $\varepsilon_0$  是真空介电常数。电磁波与线性介质相互作用时，电位移矢量还依赖于极化矢量  $\mathbf{P} = \epsilon_0 \chi_e \mathbf{E}$ ,

$$\mathbf{D} = \varepsilon_0 \mathbf{E} + \epsilon_0 \chi_e \mathbf{E} = \varepsilon \mathbf{E} \quad (3.73)$$

一般来说，电磁波与线性介质的相互作用依赖于频率，因此在频率空间中将上式写为

$$\mathbf{D}(\mathbf{x}, \omega) = \varepsilon(\omega) \mathbf{E}(\mathbf{x}, \omega) \quad (3.74)$$

可以从一个简单模型看出介电常数的频率依赖性。考虑一个简谐力场中以本征频率  $\omega_0$  运动的电子，在外电场

$$\mathbf{E}(\mathbf{x}, t) = \mathbf{E}_0 e^{-i\omega t}$$

作用下，其运动方程可写为：

$$m [\ddot{\mathbf{x}} + \gamma \dot{\mathbf{x}} + \omega_0^2 \mathbf{x}] = -e \mathbf{E}(\mathbf{x}, t) \quad (3.75)$$

其中  $\gamma$  是阻尼因子。

假设电子的位移  $\mathbf{x}(t)$  具有与电场相同的频率形式：

$$\mathbf{x}(t) = \mathbf{x}_0 e^{-i\omega t}.$$

将  $\mathbf{x}(t)$  代入运动方程，并利用时间导数关系：

$$\dot{\mathbf{x}}(t) = -i\omega \mathbf{x}_0 e^{-i\omega t}, \quad \ddot{\mathbf{x}}(t) = -\omega^2 \mathbf{x}_0 e^{-i\omega t},$$

得到：

$$m [-\omega^2 \mathbf{x}_0 - i\omega \gamma \mathbf{x}_0 + \omega_0^2 \mathbf{x}_0] = -e \mathbf{E}_0.$$

整理后可得：

$$\mathbf{x}_0 = \frac{-e \mathbf{E}_0}{m(\omega_0^2 - \omega^2 - i\omega \gamma)}.$$

电子的极化矢量  $\mathbf{P}$  定义为单位体积内的偶极矩总和。对于单个电子，偶极矩为  $-e\mathbf{x}$ ，因此极化矢量为：

$$\mathbf{P} = N(-e\mathbf{x}),$$

其中  $N$  是单位体积内的电子数密度。将  $\mathbf{x}(t)$  的表达式代入：

$$\mathbf{P}(\mathbf{x}, t) = N(-e)\mathbf{x}_0 e^{-i\omega t}.$$



利用  $\mathbf{x}_0$  的表达式:

$$\mathbf{P}(\mathbf{x}, t) = N(-e) \cdot \frac{-e\mathbf{E}_0}{m(\omega_0^2 - \omega^2 - i\omega\gamma)} e^{-i\omega t}.$$

简化后得到:

$$\mathbf{P}(\mathbf{x}, t) = \frac{Ne^2}{m(\omega_0^2 - \omega^2 - i\omega\gamma)} \mathbf{E}_0 e^{-i\omega t}.$$

在频域中, 极化矢量可以写为:

$$\mathbf{P}(\mathbf{x}, \omega) = \epsilon_0 \chi_e(\omega) \mathbf{E}(\mathbf{x}, \omega),$$

其中  $\chi_e(\omega)$  是频率依赖的电极化率, 定义为:

$$\chi_e(\omega) = \frac{Ne^2}{\epsilon_0 m(\omega_0^2 - \omega^2 - i\omega\gamma)}.$$

电位移矢量  $\mathbf{D}$  和电场强度  $\mathbf{E}$  的关系为:

$$\mathbf{D}(\mathbf{x}, \omega) = \epsilon(\omega) \mathbf{E}(\mathbf{x}, \omega),$$

其中介电常数  $\epsilon(\omega)$  定义为:

$$\epsilon(\omega) = \epsilon_0 (1 + \chi_e(\omega)).$$

将  $\chi_e(\omega)$  的表达式代入:

$$\epsilon(\omega) = \epsilon_0 \left[ 1 + \frac{Ne^2}{\epsilon_0 m(\omega_0^2 - \omega^2 - i\omega\gamma)} \right].$$

进一步整理:

$$\epsilon(\omega) = \epsilon_0 + \frac{Ne^2}{m(\omega_0^2 - \omega^2 - i\omega\gamma)}.$$

这个例子告诉我们, 介电常数常数可以有虚部, 对应了介质的吸收效应。实验上对介电常数实部和虚部测量的一个例子如下:

### 时域的非定域性

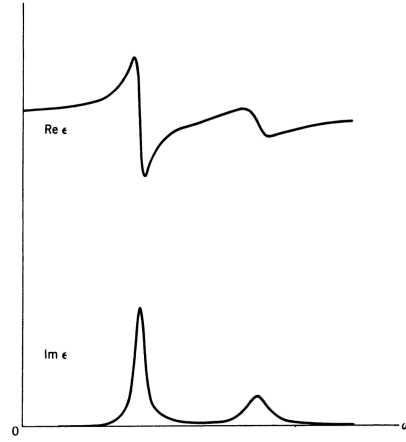
介电常数频率依赖关系:

$$\mathbf{D}(\mathbf{x}, \omega) = \epsilon(\omega) \mathbf{E}(\mathbf{x}, \omega), \quad (3.76)$$

的一个重要后果是导致电磁波与介质相互作用的时域非定域性。为了看出这一点, 傅立叶变换回到时域。

首先, 将频域中的电位移矢量  $\mathbf{D}(\mathbf{x}, \omega)$  和电场强度  $\mathbf{E}(\mathbf{x}, \omega)$  表达为时域量的傅里叶变换:

$$\mathbf{D}(\mathbf{x}, t) = \int_{-\infty}^{\infty} \mathbf{D}(\mathbf{x}, \omega) e^{-i\omega t} \frac{d\omega}{2\pi}, \quad (3.77)$$



$$\mathbf{E}(\mathbf{x}, t) = \int_{-\infty}^{\infty} \mathbf{E}(\mathbf{x}, \omega) e^{-i\omega t} \frac{d\omega}{2\pi}. \quad (3.78)$$

将频域关系  $\mathbf{D}(\mathbf{x}, \omega) = \varepsilon(\omega) \mathbf{E}(\mathbf{x}, \omega)$  代入  $\mathbf{D}(\mathbf{x}, t)$  的表达式中:

$$\mathbf{D}(\mathbf{x}, t) = \int_{-\infty}^{\infty} \varepsilon(\omega) \mathbf{E}(\mathbf{x}, \omega) e^{-i\omega t} \frac{d\omega}{2\pi}. \quad (3.79)$$

由于  $\mathbf{E}(\mathbf{x}, \omega)$  是  $\mathbf{E}(\mathbf{x}, t)$  的傅里叶变换, 将其展开为:

$$\mathbf{E}(\mathbf{x}, \omega) = \int_{-\infty}^{\infty} \mathbf{E}(\mathbf{x}, t') e^{i\omega t'} dt', \quad (3.80)$$

并代入  $\mathbf{D}(\mathbf{x}, t)$  的表达式中, 得到:

$$\mathbf{D}(\mathbf{x}, t) = \int_{-\infty}^{\infty} \left[ \int_{-\infty}^{\infty} \varepsilon(\omega) e^{-i\omega(t-t')} \frac{d\omega}{2\pi} \right] \mathbf{E}(\mathbf{x}, t') dt'. \quad (3.81)$$

定义一个时间卷积核  $\chi(t-t')$ , 其傅里叶变换为  $\varepsilon(\omega)$ :

$$\chi(t-t') = \int_{-\infty}^{\infty} \varepsilon(\omega) e^{-i\omega(t-t')} \frac{d\omega}{2\pi}. \quad (3.82)$$

因此, 电位移矢量在时域中的表达式可以写为:

$$\mathbf{D}(\mathbf{x}, t) = \int_{-\infty}^{\infty} \chi(t-t') \mathbf{E}(\mathbf{x}, t') dt'. \quad (3.83)$$

这表明, 电位移矢量  $\mathbf{D}(\mathbf{x}, t)$  不仅依赖于当前时刻的电场强度  $\mathbf{E}(\mathbf{x}, t)$ , 还依赖于过去所有时刻的电场强度  $\mathbf{E}(\mathbf{x}, t')$ 。

物理的因果律要求  $\chi(t) \propto \theta(t)$ 。即电场只能影响未来的电位移矢量。以简谐振子模型为例,

$$\varepsilon(\omega) = \epsilon_0 \left[ 1 + \frac{Ne^2}{\epsilon_0 m(\omega_0^2 - \omega^2 - i\omega\gamma)} \right]. \quad (3.84)$$

代入上式,

$$\varepsilon(\omega) = \epsilon_0 + \frac{Ne^2}{m(\omega_0^2 - \omega^2 - i\omega\gamma)}. \quad (3.85)$$

将其分解为实部和虚部, 分别对应介电常数的色散和吸收部分。分母中的  $-i\omega\gamma$  项导致了虚部的存在, 表示介质对电磁波的能量吸收。

为了进一步分析  $\chi(t)$  的因果性, 我们利用复平面上的积分技巧来计算  $\chi(t)$ 。根据傅里叶逆变换公式:

$$\chi(t) = \int_{-\infty}^{\infty} \varepsilon(\omega) e^{-i\omega t} \frac{d\omega}{2\pi}. \quad (3.86)$$

考虑  $\varepsilon(\omega)$  的极点结构。从简谐振子模型中可以看到,  $\varepsilon(\omega)$  的极点位于复平面上的:

$$\omega_{\pm} = \pm \sqrt{\omega_0^2 - \frac{\gamma^2}{4}} - i\frac{\gamma}{2}. \quad (3.87)$$

注意到极点位于复平面的下半平面。将  $\omega$  积分视作复围道积分, 当  $t < 0$  时, 可以将围道从上半平面通过一个大半圆连成封闭围道。在围道内部被积函数是解析的, 因此围道积分为零。另一方面, 被积函数在无穷远衰减的足够快, 因此大半圆的积分也为零。从而  $t < 0$  时  $\chi(t) = 0$ 。与我们对因果律的期待一致。

### Kramers-Kronig 关系

Kramers-Kronig 关系揭示了介电常数实部和虚部之间的内在联系。它们源于因果性和解析性的数学约束。将一般的复介电常数写作

$$\varepsilon(\omega) = n(\omega) + i\nu(\omega) \quad (3.88)$$

其中  $n, \nu \in \mathbb{R}$ 。  $\varepsilon(\omega)$  在  $\omega$  上半复平面的解析性使得我们对于任意  $\text{Im}\omega > 0$ , 有

$$\varepsilon(\omega) = \frac{1}{2\pi i} \oint_C \frac{\varepsilon(z)}{z - \omega} dz \quad (3.89)$$

其中  $C$  取作实轴和上半平面大半圆构成的封闭围道。物理上我们关心  $\omega$  是实数的情况。我们可以让  $\omega$  从上半平面逼近实轴。

定义柯西主值积分

$$\text{P} \int_{-\infty}^{\infty} \frac{f(x)}{x - a} dx = \lim_{\delta \rightarrow 0+} \int_{-\infty}^{a-\delta} \frac{f(x)}{x - a} dx + \lim_{\delta \rightarrow 0+} \int_{a+\delta}^{\infty} \frac{f(x)}{x - a} dx \quad (3.90)$$

则(3.89)在  $\omega$  位于实轴上时可以分解为:

$$\varepsilon(\omega) = \text{P} \frac{1}{2\pi i} \int_{-\infty}^{\infty} \frac{\varepsilon(z)}{z - \omega} dz + \lim_{\delta \rightarrow 0+} \frac{1}{2\pi i} \int_{C_{\delta}} \frac{\varepsilon(z)}{z - \omega} dz \quad (3.91)$$

其中  $C_\delta$  是以  $\omega$  为圆心,  $\delta$  为半径的逆时针下半圆:

$$\lim_{\delta \rightarrow 0^+} \frac{1}{2\pi i} \int_{C_\delta} \frac{\varepsilon(z)}{z - \omega} dz = \frac{\varepsilon(\omega)}{2} \quad (3.92)$$

将这一形式代入(3.91), 并分离实部和虚部, 得到:

$$n(\omega) = \frac{1}{\pi} \mathcal{P} \int_{-\infty}^{\infty} \frac{\nu(z)}{z - \omega} dz, \quad (3.93)$$

$$\nu(\omega) = -\frac{1}{\pi} \mathcal{P} \int_{-\infty}^{\infty} \frac{n(z)}{z - \omega} dz, \quad (3.94)$$

其中  $\mathcal{P}$  表示柯西主值积分。

这两个公式即为 Kramers-Kronig 关系的核心表达式。它们表明, 介电常数的实部  $n(\omega)$  和虚部  $\nu(\omega)$  并非独立, 而是通过积分关系相互制约。具体来说: - 实部  $n(\omega)$  可以通过虚部  $\nu(\omega)$  的积分计算得出; - 虚部  $\nu(\omega)$  可以通过实部  $n(\omega)$  的积分计算得出。

这种制约关系在实验中具有重要意义。例如, 在光学测量中, 如果能够精确测量材料的吸收谱 (对应于  $\nu(\omega)$ ), 则可以通过 Kramers-Kronig 关系推导出色散特性 (对应于  $n(\omega)$ )。反之亦然。

### 作业 3

计算正定向围道积分

$$\int_{|z|=2} \frac{dz}{z^2 - 1}.$$

计算正定向围道积分

$$\int_{|z|=1} |z - 1| \cdot |dz|.$$

设  $f(z)$  在单连通区域  $D$  内解析且处处满足  $|f(z) - 1| < 1$ 。证明对  $D$  中的任意封闭曲线  $C$  有

$$\int_C \frac{f'(z)}{f(z)} dz = 0.$$

(假设  $f'(z)$  连续)。

证明当  $|a| < r < |b|$  时,

$$\int_{|z|=r} \frac{1}{(z - a)(z - b)} dz = \frac{2\pi i}{a - b},$$

其中积分围道取正定向。

计算

$$\int_{|z|=2} \frac{dz}{z^2 + 1}.$$